

**ОПРЕДЕЛЕНИЕ ХАРАКТЕРНЫХ ВРЕМЕН
ФОРМИРОВАНИЯ НЕОДНОРОДНОГО ПРОФИЛЯ
ВАКАНСИОННЫХ ДЕФЕКТОВ В КРЕМНИИ
У ГРАНИЦЫ РАЗДЕЛА
ПОД ДЕЙСТВИЕМ ЭЛЕКТРИЧЕСКОГО ПОЛЯ**

Болотов В. В., Стучинский В. А.

Путем измерения методом DLTS профилей концентрации A -центров, формирующихся в базе диодов Шоттки при облучении их электронами на импульсном ускорителе в условиях импульсного смещения диодов в обратном направлении, определены характерные времена $t_{\text{зап}}$ формирования неоднородного распределения дефектов под действием электрического поля. Зависимость $t_{\text{зап}}$ от параметров ОПЗ подтверждает дрейфовую модель происхождения профилей концентрации дефектов.

В работах [1, 2] было показано, что действие электрического поля при облучении приводит к формированию неоднородного распределения вакансационных дефектов в кремнии. В работе [2] при анализе возможных механизмов влияния поля на накопление дефектов был сделан вывод о том, что формирование неоднородного профиля обусловлено дрейфом вакансий (V^+) и стоком их на границу раздела. Отмечалось, что действие поля приводит к образованию резко неоднородного профиля, если время дрейфа V^+ через область пространственного заряда (ОПЗ) не превышает их времени жизни τ_{V^+} .

Цель данной работы — при использовании импульсного характера дефектообразующего облучения определить характерные времена $t_{\text{зап}}$ формирования неоднородного профиля концентрации дефектов под действием электрического поля. Представлялось возможным, изучив зависимость $t_{\text{зап}}$ от величины электрического поля и толщины ОПЗ, получить дополнительные данные о механизме формирования профиля и на этой основе оценить время жизни и подвижность V^+ в кремнии.

В эксперименте использовались образцы кремния КЭФ-1 ($n = 4.8 \cdot 10^{15}$, $N_{O_I} = 1.1 \cdot 10^{18}$, $N_{C_s} \leq 2 \cdot 10^{16} \text{ см}^{-3}$) и КЭФ-7.5 ($n = 6.2 \cdot 10^{14}$, $N_{O_I} = 1.1 \cdot 10^{18}$, $N_{C_s} = 8 \cdot 10^{16} \text{ см}^{-3}$) из тех же слитков, что и в работе [2], а также образцы кремния марки КЭФ-4.5 с $n = 1.0 \cdot 10^{15}$, $N_{O_I} = 1.2 \cdot 10^{18}$, $N_{C_s} = 1.2 \cdot 10^{17} \text{ см}^{-3}$.

Диоды Шоттки, полученные напылением в вакууме на образцы золота, облучались на импульсном ускорителе электронами с энергией 3.5 МэВ. Длительность импульсов облучения составляла 3 мкс, частота повторения импульсов 100 Гц. Во время облучения на диоды подавались импульсы обратного смещения ($U_{\text{см}} = 8$ В) длительностью $t_{\text{см}}$ от генератора прямоугольных импульсов, синхронизованного с ускорителем, причем величина задержки импульса смещения относительно начала импульса облучения не превышала 0.3 мкс (рис. 1). После облучения методом DLTS измерялось распределение в базе диодов концентрации A -центров ($E_c = 0.18$ эВ) [3]. Погрешность измерения концентрации дефектов составляла 5—7 %. Изучалась зависимость формы профиля от $t_{\text{см}}$. Результаты представлены на рис. 2. Видно, что характерное время, в течение которого успевает формироваться неоднородное распределение A -центров в ОПЗ, уменьшается с увеличением уровня легирования базы диода

и составляет ~ 3 , $\sim 7-15$, $\sim 15-50$ мкс для кремния с $\rho = 1, 4.5, 7.5$ Ом·см соответственно. Очевидно, результат следует объяснять либо в представлении о дрейфе заряженных вакансий в поле ОПЗ [2], либо в предположении о влиянии зарядового состояния вакансий на скорость образования A -центров.

При объяснении формирования неоднородного распределения A -центров различием зарядовых состояний вакансий в ОПЗ и квазинейтральном объеме

кремния следует полагать, учитывая факт электрической нейтральности кислорода в кремнии, что при изменении зарядового состояния вакансий меняется скорее всего темп рекомбинации коррелированных пар Френкеля, а не скорость захвата вакансий на кислород [4, 5]. Между тем наблюдаемые величины $t_{\text{зап}}$ слишком велики по сравнению с временем разделения френкелевых пар,

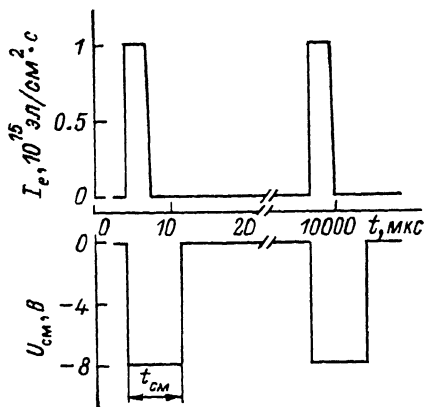


Рис. 1. Эшюры импульсов обратного смещения $U_{\text{cm}}(t)$, подаваемых на диоды Шоттки при облучении их импульсами быстрых электронов $I_e(t)$.

что позволяет считать такой механизм формирования профиля концентрации A -центров маловероятным.

Полученные данные, однако, хорошо согласуются с представлением о том, что неоднородный профиль концентрации A -центров формируется в результате дрейфа заряженных вакансий в поле ОПЗ. При малых $t_{\text{зап}}$ длина дрейфа

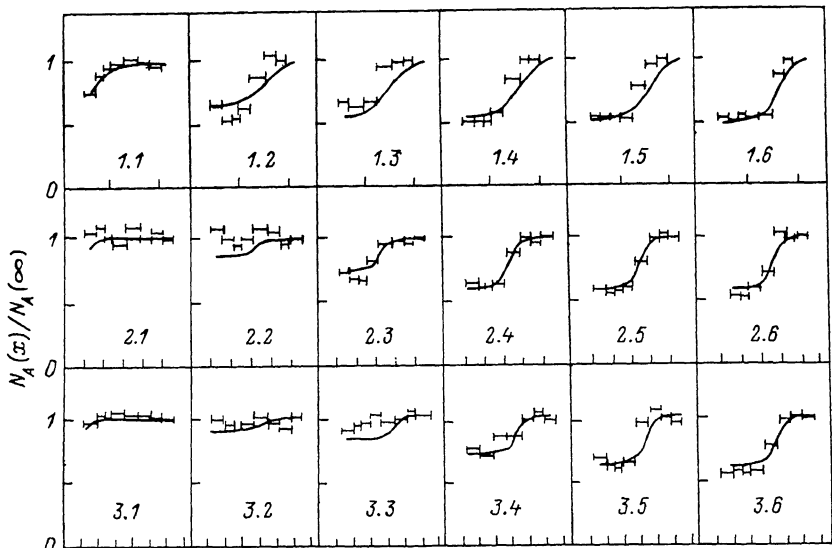


Рис. 2. Профили концентрации A -центров в базе диодов Шоттки, смещенных в обратном направлении ($U_{\text{cm}} = -8$ В) в течение времени $t_{\text{зап}}$ после начала импульса облучения.

Материал: 1.1—1.6 — КЭФ-1; 2.1—2.6 — КЭФ-4.5; 3.1—3.6 — КЭФ-7.5; $t_{\text{зап}}$, мкс: 1.1, 2.1, 3.1 — 0; 1.2, 2.2, 3.2 — 3.5; 1.3, 2.3, 3.3 — 7; 1.4, 2.4, 3.4 — 15; 1.5, 2.5, 3.5 — 50; 1.6, 2.6, 3.6 — ∞ (постоянное смещение). Штрихи по горизонтальной оси — через 1 мкм. Сплошные линии — результат расчета для $t_{\text{зап}} = 35$ мкс.

вакансий $l_B = \mu E t_{\text{зап}}$ мала по сравнению с толщиной ОПЗ h и действие поля не приводит к резко неоднородному распределению вакансий; в случае же $t_{\text{зап}} > t_{\text{зап}}$ дрейфовая длина превышает h и наблюдается резко неоднородное распределение A -центров. В этом случае $t_{\text{зап}}$ следует отождествить с временем дрейфа V^+ через ОПЗ $t_{\text{др}}$, которое при фиксированном U_{cm} должно быть обратно пропорционально концентрации мелкой примеси $N_m(t_{\text{др}}) \approx h/v_{\text{др}} = h^2/\mu(U_k + U_{\text{cm}}) \sim 1/N_m$, что и наблюдается экспериментально.

Пользуясь соотношением

$$\frac{\tau_{v+}}{t_{dp}} = \frac{l_v^2/D}{\mu (U_v + U_{cm})} = \frac{e (U_{cm} + U_v)}{kT} \frac{l_v^2}{\mu}$$

и полученным в [2] значением $l_v = 0.3$ мкм, легко получить оценку τ_{v+} в трех случаях (см. таблицу).

Проведенный согласно системе кинетических уравнений [2]

$$\frac{\partial N_{v+}}{\partial t} = g_{v+} + D_{v+} \frac{\partial^2 N_{v+}}{\partial x^2} + \mu \frac{\partial}{\partial x} [E(x) N_{v+}(x)] - \frac{N_{v+}}{\tau_{v+}},$$

$$\frac{\partial N_{v0}}{\partial t} = g_{v0} + D_{v0} \frac{\partial^2 N_{v0}}{\partial x^2} - \frac{N_{v0}}{\tau_{v0}},$$

$$\frac{\partial N_A}{\partial t} = \frac{N_{v+}}{\tau_{v+}} + \frac{N_{v0}}{\tau_{v0}},$$

$$\tau_{v0} = \tau_{v+}, \quad D_{v0} = D_{v+}, \quad g_{v0} = g_{v+}, \quad E(x) = \frac{2U}{h} \left(1 - \frac{x}{h}\right),$$

$$N_{vi}(0) = 0, \quad \frac{\partial N_{vi}}{\partial x}(\infty) = 0, \quad i = +, 0$$

расчет формы профиля концентрации A -центров, формирующегося в условиях импульсных облучения и смещений (рис. 2, сплошные кривые), дает наилучшее согласие с экспериментом для значений τ_{v+} (расчет), приведенных в последнем столбце таблицы.

Материал	h , мкм	$t_{\text{хар}}$, мкс	τ_{v+}/t_{dp}	τ_{v+} , мкс (оценка)	τ_{v+} , мкс (расчет)
КЭФ-1	1.56	<3.5	<13	<45	≤35
КЭФ-4.5	3.42	7–15	2.7	19–41	30
КЭФ-7.5	4.34	15–50	1.7	25–85	38

Отметим, что для всех трех слитков полученные величины τ_{v+} (расчет) близки и лежат в диапазоне 30–38 мкс, откуда также следует оценка коэффициента диффузии $D_{v+} = l_{v+}^2/\tau_{v+} = (2 \div 3) \cdot 10^{-5}$ см²/с и дрейфовой подвижности $\mu_{v+} = eD_{v+}/kT = 10^{-3}$ см²/В·с положительно заряженных вакансий в кремнии при комнатной температуре. Следует отметить, что величины кинетических коэффициентов определены с точностью до множителя ∼2 в связи с неопределенностью заряда дрейфующих вакансий (V^+ либо V^{2+} [6]).

В заключение отметим, что наблюдаемая зависимость времени формирования неоднородного распределения A -центров от параметров ОПЗ (величины поля, размера) подтверждает дрейфовую модель происхождения профилей концентрации дефектов и приводит к следующей оценке времени жизни и кинетических коэффициентов положительно заряженных вакансий в кремнии при комнатной температуре: $\tau_{v+} = 30–38$ мкс, $D_{v+} = (2 \div 3) \cdot 10^{-5}$ см²/с, $\mu_{v+} = 10^{-3}$ см²/В·с.

Л и т е р а т у р а

- [1] Кучинский П. В., Ломако В. М., Петрунин А. П. — Письма ЖТФ, 1985, т. 11, в. 5, с. 309–311.
- [2] Болотов В. В., Карпов А. В., Стучинский В. А. — ФТП, 1988, т. 22, в. 1, с. 49–55.
- [3] Берман Л. С., Лебедев А. А. Емкостная спектроскопия глубоких центров в полупроводниках. Л., 1981. 174 с.
- [4] Лугаков П. Ф., Лукьянница В. В. — ФТП, 1984, т. 18, в. 2, с. 345–347.
- [5] Lugakov P. F., Lukyanitsa V. V. — Phys. St. Sol. (a), 1984, v. 83, N 2, p. 521–528.
- [6] Бургуэн Ж., Ланно М. Точечные дефекты в полупроводниках. Экспериментальные аспекты. М., 1985. 304 с.